

VŠST LIBEREC

Fakulta strojní

Ober 23 - 34 - 8

Výrobní stroje a zařízení

zaměření

Balící a polygrafické stroje

Katedra částí strojů

ZAKLÁDÁNÍ HLUBOTISKOVÝCH VÁLCŮ PRO STROJE

ROTOMASTER A HS 3/55 DO STÁVAJÍCÍCH REGÁLŮ

Jiří Tobias

BP - 100/78

Vedoucí práce: Ing. Miroslav Rydval (VŠST Liberec)  
Konzultant : Ing. Stanislav Podolák (OT Kolín)

Rozsah práce a příloh:

Počet stran : 41

Počet tabulek: 3

Počet příloh : 0

Počet obrázků: 15

Počet výkresů: 6

DT:

26. května 1978

Vysoká škola: **VŠST Liberec**

Katedra: **části strojů**

Fakulta: **strojní**

Skolní rok: **1977/78**

# DIPLOMOVÝ ÚKOL

pro **Jiří Tobíáš**

obor **23-34-8 Výrobní stroje a zař., balicí a polygraf.stroje**

Protože jste splnil.... požadavky učebního plánu, zadává Vám vedoucí katedry ve smyslu směrnic ministerstva školství a kultury o státních závěrečných zkouškách tento diplomový úkol:

Název tématu: **Zakládání hlubokotiskových válců pro stroj  
Rotomaster a HS 3/55 do s távajících regálů**

## Pokyny pro vypracování:

1. Návrh a dokumentace zakládání a vyjmání válců z regálů
2. Návrh a dokumentace svislého pohybu zařízení
3. Návrh a dokumentace pojezdu zařízení
4. Průvodní zpráva a výpočet

*Vzdálenost*

Na poli je výrobek pro výrobu  
válců pro stroj Rotomaster a HS 3/55  
Výrobek má výšku 115 mm a šířku 115 mm  
1150 € 14 jednotek celkové ceny je 115,55 €

**VYSOKÁ ŠKOLA STROJNÍ A TĚCHNICKÉ**  
**EDV. ČS. S. 1, 3. 1978. 5**  
**1977**

Rozsah grafických laboratorních prací:

**Sestava + podsestavy jednotlivých částí**

Rozsah průvodní zprávy: **cca 30 stran**

Seznam odborné literatury:

**Prospekty zvedacích zařízení**  
**Dražan: Transportní zařízení, SNTL Praha 1966**

Vedoucí diplomové práce: **Ing. Miroslav Rydval**

**Ing. St. Podolák, OT Kolín**

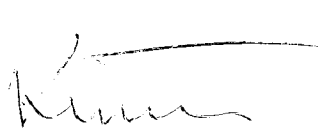
Konsultanti:

Datum zahájení diplomové práce: **10.10.1977**

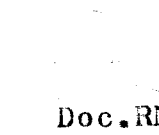
**26. 5.1978**

Datum odevzdání diplomové práce:



  
**Doc. Ing. Oldřich Krejčíř, CSc**

Vedoucí katedry

  
**Doc. RNDr. Bohuslav Stříž, CSc**

Děkan

v

**Liberci**

dne

**10.10.**

**19 77**

Mistopřísežné prohlášení

Mistopřísežně prohlašuji, že jsem tuto diplomovou práci vypracoval samostatně s použitím uvedené literatury.

V Liberci dne 26. 5. 1978

Jiří Tobias

Jiří Tobias

## O B S A H

strana

1.0 ÚVOD	5
2.0 ROZBOR SOUČASNÉHO STAVU	7
3.0 VOLBA NEJVHODNĚJŠÍHO ŘESENÍ	11
3.1 Návrh koncepce zakladače	11
3.2 Návrh zakládacího mechanismu	12
4.0 KONCEPCE NAVRŽENÉHO ZAKLADAČE	15
4.1 Zakládací mechanismus	15
4.1.1 Základní výpočty	18
4.2 Závěr zakládacího mechanismu	23
4.2.1 Vypočet os kladek	24
4.3 Pojezd a pohon zakladače	26
4.3.1 Základní výpočty	26
4.4 Rám zakladače	34
5.0 ZAKLÁDÁNÍ A VYJÍMÁNÍ VÁLCŮ	37
6.0 ZÁVĚR	39
SEZNAM POUŽITÉ LITERATURY	41

## 1.0 ÚVOD

Náplní zadaného diplomového úkolu je navrhnut a vyřešit zařízení pro zakládání hlubotiskových válců pro stroj ROTOMASTER a stroj HS 3/55 do stávajících regálů v novém závodě OT Kolín.

Při návrhu zakládacího mechanismu je nutno splnit především tyto požadavky :

- a/ využít pro zakládání válců stávající regály, které již byly v závodě instalovány před několika lety
- b/ univerzalnost zařízení pro zakládání tiskových válců pro stroj Rotomaster i pro stroj HS 3/55, neboť válce pro oba typy strojů se rozměrově liší
- c/ omezit nebo úplně odstranit ruční manipulaci s tiskovými válcí, jejichž hmotnost se pohybuje v rozmezí třiceti až dvacet osmdesáti kilogramů
- d/ jednoduchost konstrukce a výroby celého zařízení, protože pokud dojde k realizaci návrhu, bude zařízení vyráběno v dílnách OT Kolín
- e/ jednoduchost manipulace a ovládání zařízení
- f/ malá půdorysná plocha zařízení, protože prostor určený pro zakládací zařízení je omezen

Dále musíme brát v úvahu také skutečnost, že hlubotiskové válce musejí mít dokonale hladký povrch. Z tohoto důvodu nesmí při manipulaci s válci dojít k sebemenšímu mechanickému poškození povrchu válce, jinak by došlo k jeho znehodnocení a válec by se stal zcela nepoužitelný k tisku. To by znamenalo značnou finanční ztrátu . Při skladování

a manipulaci jsou válce chráněny plstěným pláštěm o tloušťce cca 15 mm.

Hlubotiskové válce jsou vyměňovány a zakládány do regálů v průměru dvakrát až třikrát za směnu.

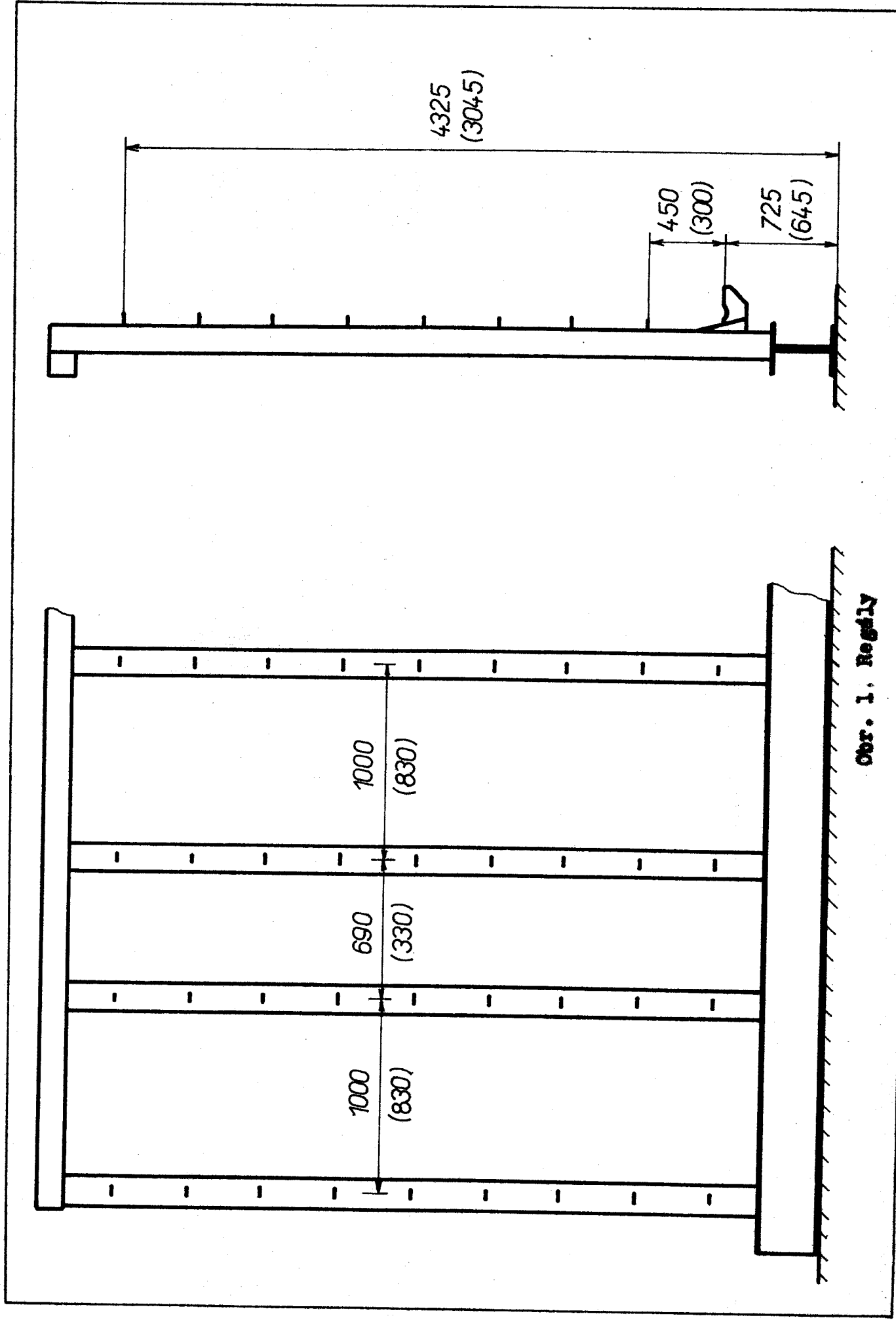
## 2.0 ROZBOR SOUČASNÉHO STAVU

Současný stav skladování hlubotiskových válců je zcela nevyhovující. Dospod byly tiskové válce zakládány pouze do nejspodnějších závěsů regálů a to ručně. Vzhledem k velké hmotnosti válců je to velmi obtížné a namáhavé a regály jsou téměř nevyužity. Ostatní válce jsou skladovány v různých prostorách na upravených stojanech. To velmi ztěžuje výběr válců a jejich přepravu ke stroji, neohledě k velké zástavné ploše tohoto skladování. Celkový počet používaných válců činí cca 130 kusů.

Původně měl být k zakládání válců použit vysokozdvížný vozík DESTA. Ovšem toto řešení nebylo z několika důvodů možné. Především nevyhovuje bezpečnostním předpisům, protože barviva, která se používají k tisku jsou snadno vznětlivá. Další překážkou tohoto řešení je velmi omezený prostor k manipulaci a k zakládání válců do regálů. Navíc maximální zakládací výška je 4,35 m.

Regály jsou schématicky naznačeny na obr.1. Protože jsou zakládány tiskové válce ke dvěma strojům /Romaster , HS 3/55/ a jejich rozměry se liší, liší se také rozměry regálů pro oba typy válců. Rozměry regálů na obrázku jsou udány v mm a údaje v závorkách platí pro regály na tiskové válce ke stroji HS 3/55.

Hlubotiskové válce ke stroji Rotomaster je nutno zavěšovat a přepravovat v zakládacím mechanismu pouze za ty části hřídele, které jsou na přiloženém výkresu vyznačeny



šrafováním.

Válce stroje HS 3/55 jsou při odkládání nasazovány na dřevěné nebo kovové tyče o průměru 45 až 50 mm. Základní údaje hlubotiskových válců pro oba stroje jsou uvedeny v tabulce 1 a 2.

Tabulka č. 1

Stroj ROTOMASTER

Délka válce [ mm ]	Obvod válce [ mm ]	Průměr válce [ mm ]	Počet kuseů	Hmotnost [ kg ]
880/1 600	1 100	350	4	280
	1 000	318 - 320	4	250
	970	300	4	240
	900	286	4	230
	850	270	4	215

Válce jsou v obou regálech zavěšeny ve třech řadách podél stěny po devíti kusech nad sebou. Vzdálenost mezi jedním a druhým regálem je asi 15 m.

Tabulka č. 2

Stroj HS 3/55

Délka válce [mm]	Ovazd válce [mm]	Průměr válce [mm]	Počet kusů	Hmotnost [kg]
	300		9	
	360		12	
	420		10	
	470		5	
	480		5	
630	490	150 - 190	10	30 - 50
	500		5	
	510		5	
	520		10	
	550		5	
	580		15	
	600		10	
	610		10	

### **3.0 VOLBA NEJVÝHODNĚJŠÍHO RЕSENÍ**

#### **3.1 Místo konání základního řešení**

Jako nejvýhodnější se může být řešení na principu jednočesnakového mostovacího jeřábu s podvěsnou kolejou. To by znamenalo, že tiskový valce by byl zvedán pod úrovni jízdni dráhy zdvihače. Jízdni dráha by byla připevněna ke stropu a umístěna v protilehlých stěnských haly. Z hlediska prostoru je tato řešení velmi výhodné, protože celé zařízení zabírá pouze nevyužitelný prostor pod stropem haly. Další výhodou tohoto řešení je jeho konstrukční jednoduchost a poměrně jednoduchá obaluka.

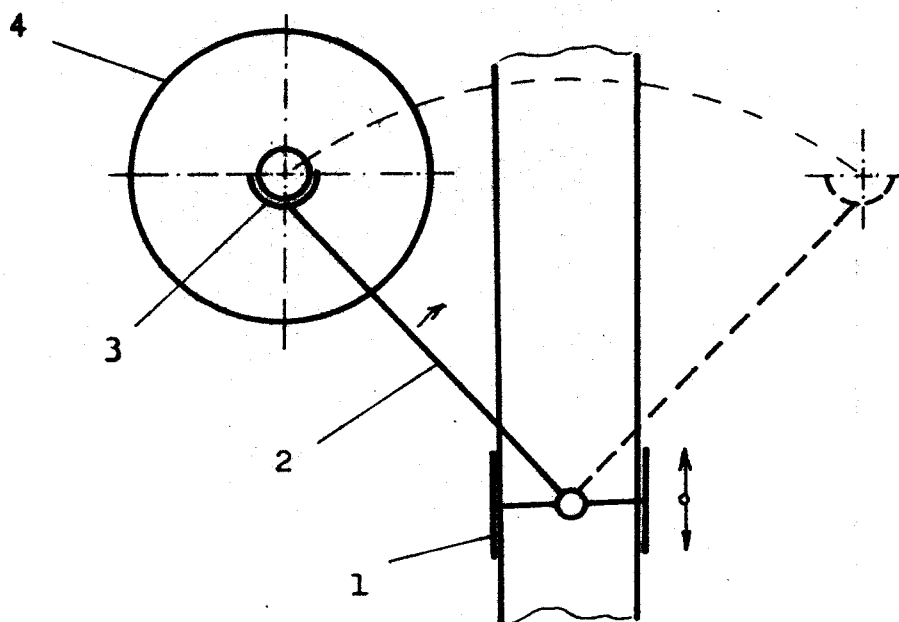
Po konzultaci v OT Kalin jsem musel od tohoto návrhu ustoupit. Při řešení celkové koncepce základacího zařízení je nutno vycházet z podmínky, že veškerá zatížení může nést pouze podlaha haly a nosné pilíře, které jsou rozmístěny v šestimetrových vzdálenostech podél stěny haly, a na nich jsou také připevněny regály pro zakládání tiskových valců. Strop haly nemůže nést žádné zatížení, protože pouze zakryvá meziprostor mezi podlažími, kde je umístěna elektroinstalace a rozvod klimatizace.

Z toho tedy vyplývá, že jízdni dráha základče musí být na podlaze haly a základecí mechanismus musí být veden v povrchu rámů.

### 3.2 Návrh zakládacího a vyjímacího mechanismu

Při hledání nejhodnějšího mechanismu se nabízelo několik možností řešení.

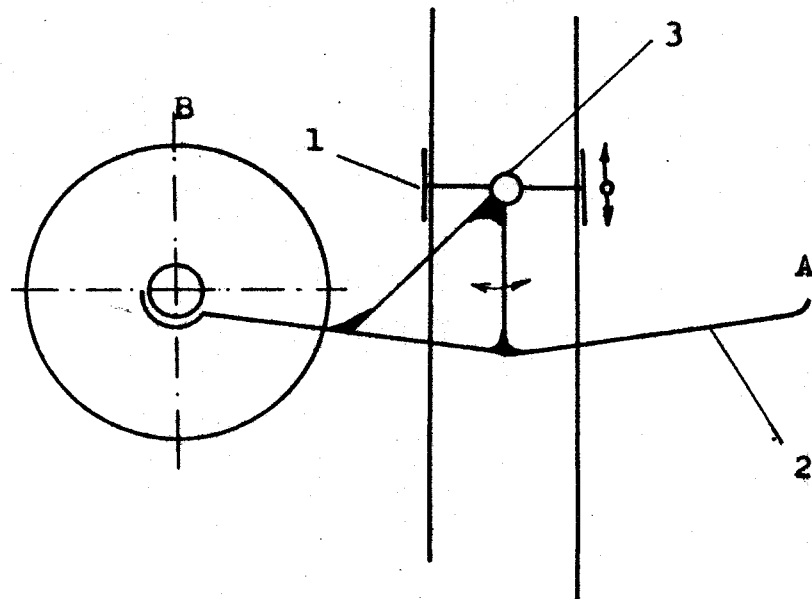
Jako nejjednodušší se zdálo být řešení na obrázku 2.



Obr. 2

Posuv zakládacího zařízení ve vertikálním směru by byl zajištěn vedením 1. Zakládání a vyjmání válců by se dělo pomocí výkyvných rámů 2. Držáky 3 na konci rámů, v nichž by byl válec 4 zavěšen, by při pohybu rámů udržovaly stále stejnou polohu vůči rámu. Rozborem tohoto řešení se však ukázalo, že délka rámů by musela být neúměrně velká, aby nedošlo ke kolizi s okolními zavěšenými válci. Válce jsou totiž v regálu zavěšeny velmi blízko sebe / cca 7 cm /.

Další řešení je na obrázku 3. Je to také jednoduchý mechanismus a jeho funkce je následující.



Obr.3

Vertikální posuv je opět zajištěn vedením 1. V místě A se nakulí válec na vidlice 2, které se pootočí kolem čepu 3 ve směru šipky a válec se vlastní vahou přesune do polohy B. Zakladač vyjede ke zvolenému závěsu, vidlice se vysunou pootočením kolem čepu 3 a zavěsí válec na závěs.

Podrobnějším rozborem jsem dospěl ke stejnemu závěru jako v předešlém případě, že totiž poloměr otáčení vidlic kolem čepu by byl neúměrně velký, aby nedošlo ke kolizi s ostatními zavěšenými válci.

Z těchto návrhů vyplynulo, že zakládací mechanismus musí mít pouze výsuvný člen, protože jakýkoliv vertikální pohyb samotného mechanismu je značně omezen malým prosto-

rem mezi zavěšenými válci. Tomuto omezení vyhovuje konečný návrh zakládacího mechanismu, jenž je schématicky znázorněn na obrázku 5 a jeho funkce a popis je uveden v kapitole 4.1.

#### **4.0 KONCEPCE NAVRŽENÉHO ZAKLADAČE**

Navržený zakladač má zhruba tři hlavní části. Je to rám zakladače, jenž je v dolní části opatřen pojízděcimi koly. V něm se vertikálně pohybuje druhá část zakladače, kterou tvoří rám zakládacího mechanismu. Třetí částí je vlastní zakládací mechanismus.

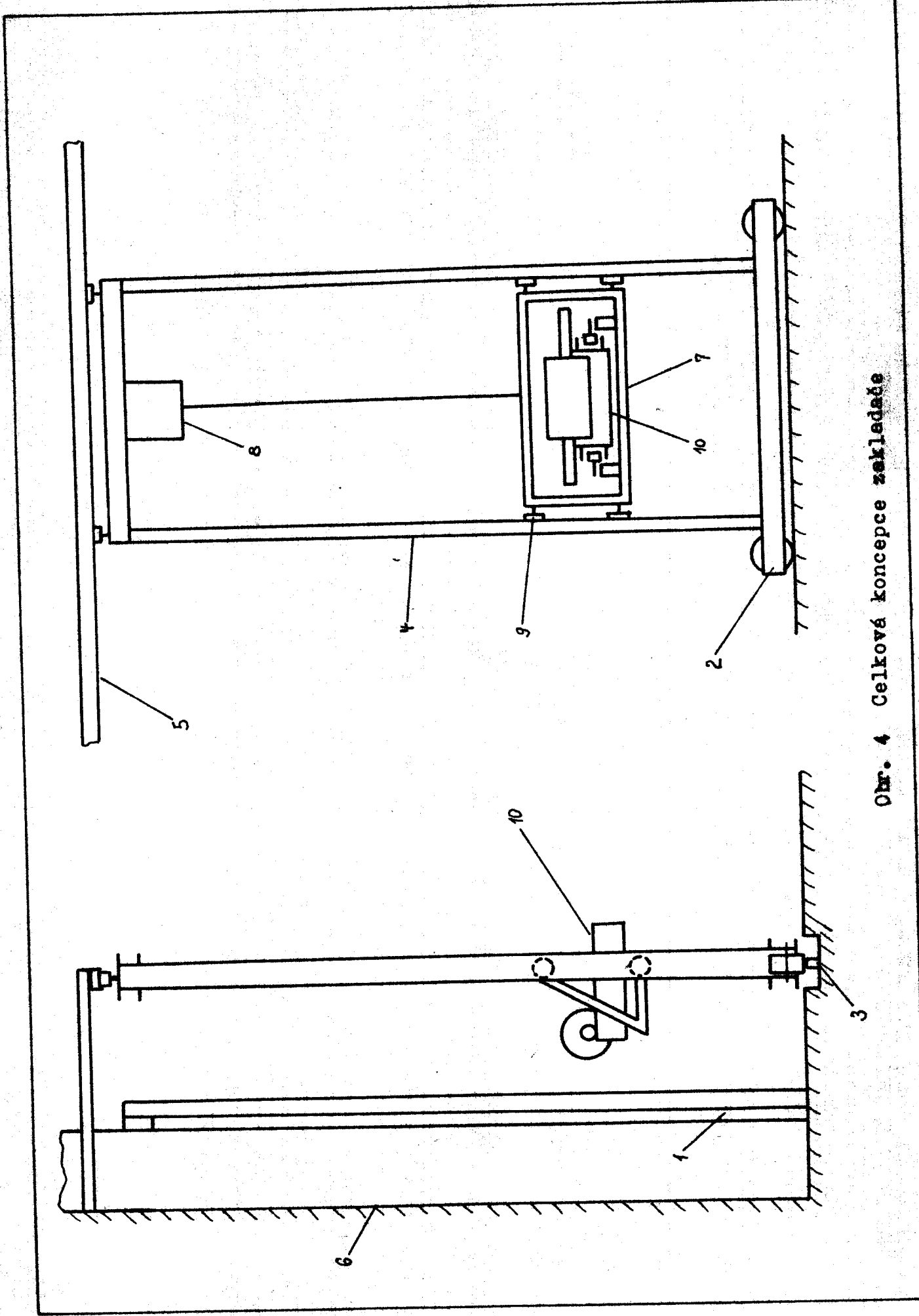
Konstrukce celého zařízení je svařena z tyčí profilů U a z uzavřených tenkostenných profilů.

Celková koncepce zakládacího zařízení je patrná ze schématického obrázku 4. Pohyb celého zařízení rovnoběžně s regály 1 je realizován pojezdem 2, který se pohybuje po kolejnici 3 zapuštěné do podlahy haly. Kolmá poloha rámu 4 ke kolejci je udržována vedením 5 připevněným k nosným pilířům 6. Vertikální posuv zakládacího zařízení a vyjmávacího mechanismu je zprostředkován řetězovým kladkostrojem 8 a zajištěn kladkami 9 pojízdějícími ve dvou U profilech, které zároveň tvoří rám 4 zakladače. Samotné zakládání a vyjmáni válců provádí výsuvná část 10, která je uložena na rámu 7 zakládacího mechanismu.

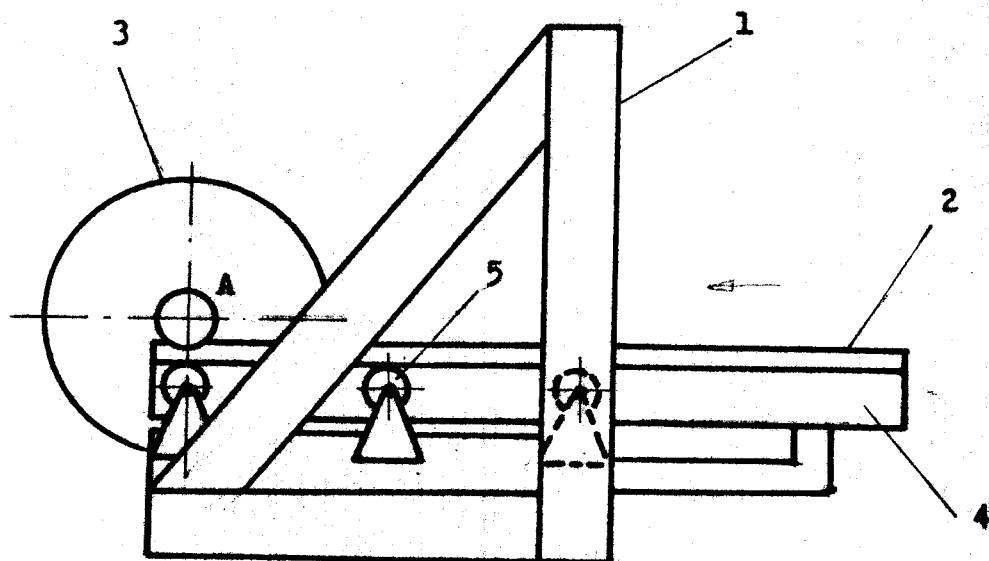
#### **4.1 Zakládací mechanismus**

Vlastní zakládací mechanismus slouží k zakládání válců do regálů a k jejich vyjmáni. Skládá se ze dvou hlavních částí; rámu 1 a výsuvného člena 2. Schémaje na obrázku 5. Výsuvný člen 2 tvoří v podstatě vozík, na nějž se uloží zakládaný válec 3. Vozík se i s válcem vysouvá ve směru šipky ve

Obr. 4 Celková koncepce základny



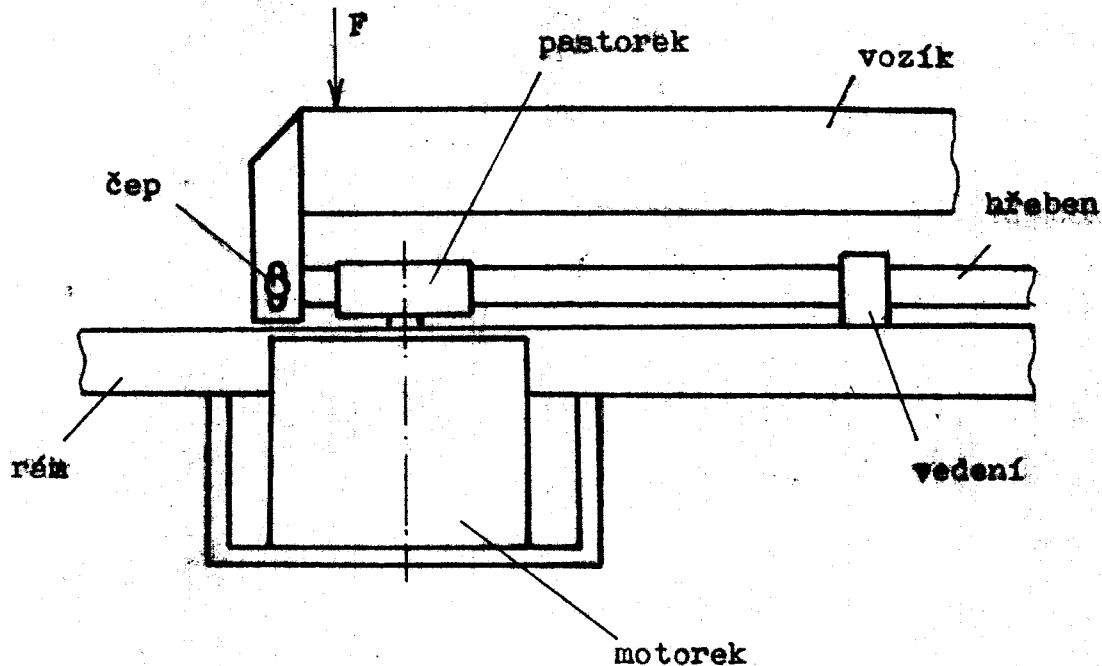
vedení 4 v podobě profilu U, v němž jsou ustaveny kladíčky 5. Osy kladíček jsou upevněny na rámu 1. Jejich poloha je nastavitelná, aby bylo možno vymezit vůli ve vedení 4.



Obr. 5

Vozík je vysouván pomocí ozubeného hřebenu, do kterého zabírá pastorek nasazený nahřídeli motorku/obr.6/. Motorek je upevněn na rámu. Ozubený hřeben nemůže být s vozíkem pevně spojen, protože ve vedení vozíku je určitá vůle. Při vysouvání dojde vlivem zatížení způsobeného hmotností válce k malému naklopení vozíku ve směru působící síly. Tím by se ozubení dostalo ze záběru. Proto je hřeben uložen ve vedení, které je připevněno na rámu. S vozíkem je spojen pouze v přední části prostřednictvím čepu. Tato úprava zabraňuje poškození zubů pastorku a hřebene a zaručuje stálý záběr ozubení,

nezávisle na vzájemném pohybu vozíku a ozubeného hřebenu.



Obr.6

#### 4.1.1 Základní výpočty

Výpočet pohonu:

Při vysouvání vozíku překonává hnací motor pasivní odpor, které vznikají valivým a čepovým třením. Potřebná tažná síla je

$$T = \frac{F}{R} / e + f_{\xi} \cdot r / . \alpha \quad [N],$$

kde R je poloměr kladíčky / m /

F ... síla způsobená hmotností vozíku a válce / N /

e = 6 . 10 <sup>-4</sup> ... součinitel valivého tření

f<sub>ξ</sub> ... součinitel čepového tření / pro ložiska M - DU

je f<sub>ξ</sub> = 0,06 /

r ... poloměr čepu / m /

α ... součinitel ostatních odporů / pro kluzná ložiska

1,2 až 1,8 /

$$T = \frac{3500}{9023} \cdot 6 \cdot 10^{-4} + 0,06 + 0,01 \cdot 1,2 = 219 \text{ Nm}$$

Při poloměru pastorku  $r = 0,03 \text{ m}$  je potřebný kroutící moment na hřídeli motorku.

$$M_K = T \cdot r = 219 \cdot 0,03 = 6,57 \text{ Nm}$$

Vozík musí mít nízkou rychlosť posuvu, aby nedošlo při styku s regálem k rázu. Aby se docílilo nízké rychlosti, je nutno použít převodový motorek.

Použitý převodový motorek typ PK3K5H má tyto parametry:  
napětí 220 V

proud střídavý

kroutící moment 11,7 Nm

převodový poměr 1 : 540

otáčky  $10 \text{ ot min}^{-1}$

hmotnost 5,45 kg

doba zatížení 5 min.

nevýbušné provedení

výrobce MEZ Náchod

Rychlosť posuvu v dostaneme ze vzorce

$$v = \frac{n \cdot \pi \cdot D}{60} \quad [\text{m/s}]$$

kde  $n$  jsou otáčky hřídele  $[\text{ot. min}^{-1}]$  a  $D$  je průměr pastorku  $[\text{m}]$

$$v = \frac{10 \cdot \pi \cdot 0,06}{60} = 0,0314 \text{ m/s}$$

Protože rychlosť posuvu je malá, není třeba motorek brzdit.

Výpočet ozubeného soukolí je proveden podle známých vztahů:

průměr pastorku volen  $D = 60$  / rozměry v mm /

$$m = 2, \quad \alpha = 20^\circ$$

$$z_1 = \frac{D}{m} = 30$$

$$t = \pi \cdot m = 6,283$$

$$h_h = m = 2$$

$$h_p = m + 0,25 m = 2,5$$

$$h = h_h + h_p = 4,5$$

$$D_h = D + 2 m = 64$$

$$D_p = D - 2 h_p = 55$$

Síly působící v ozubení jsou :

$$\text{obvodová síla } F_o = \frac{M_k}{r} = \frac{11,7}{0,03} = 390 \text{ N}$$

$$\text{radiální síla } F_R = F_o \cdot \tan \alpha = 142 \text{ N}$$

$$\text{normální síla } F_N = \frac{F_o}{\cos \alpha} = 415 \text{ N}$$

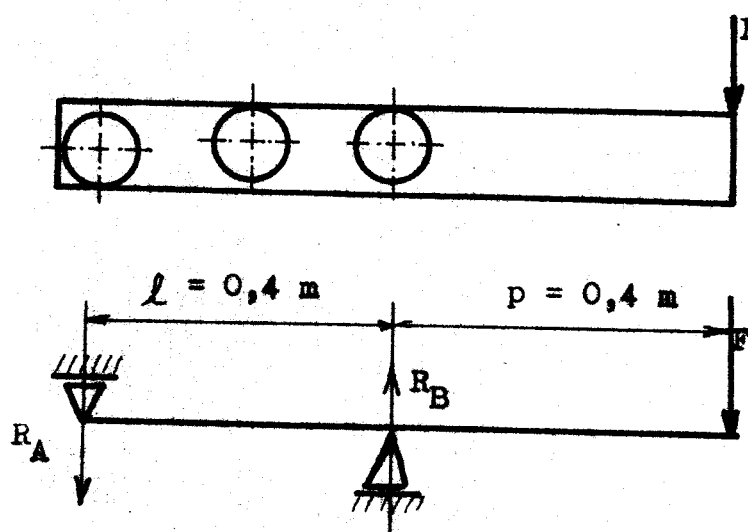
Materiál soukoli: ocel 11 700

Vzhledem k poměrně malým silám, působících v ozubení není třeba provádět kontrolu zubů na ohyb a otlačení.

#### Pevnostní kontrola os kladiček

Na každé straně vedení vozíku jsou 3 kladičky. Maximální hmotnost používaných tiskových válců činí 280 kg a hmotnost samotného vozíku je cca 60 kg. Je-li vozík maximálně využit, působí na konci vozíku síla  $F = 3400 \text{ N}$ .

Na jedno vedení vozíku tedy působí poloviční síla  $F = 1700 \text{ N}$ .  
Uspořádání kladíček je patrné z obrázku 7.



Obr. 7

Protože zatížení přenášeji především dvě krajní kladíčky, lze toto rameno pro zjednodušení počítat jako prostý nosník se dvěma podporami / obr5 /.

$$\text{Reakce } R_A = \frac{F_p}{l} = 1700 \cdot \frac{0,4}{0,4} = 1700 \text{ N}$$

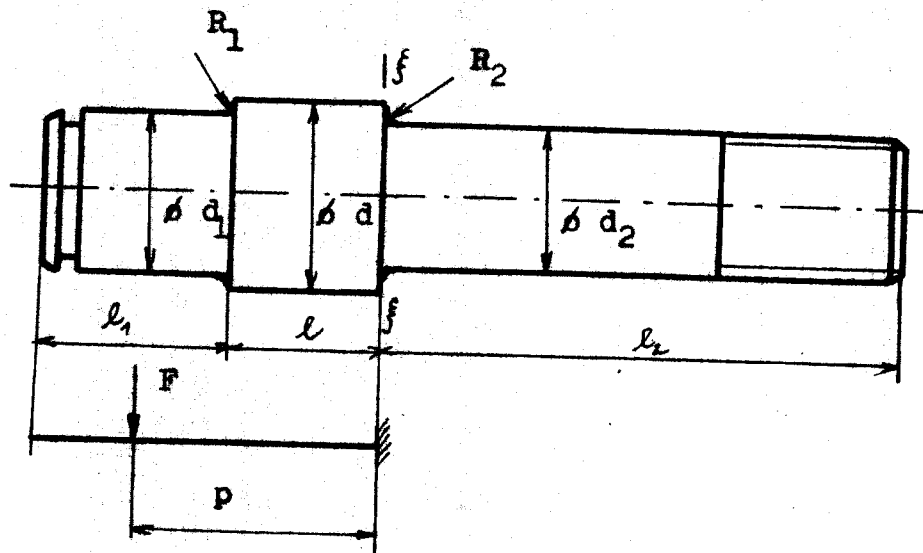
$$\text{Reakce } R_B = F \cdot \frac{l + p}{l} = 1700 \cdot \frac{0,4 + 0,4}{0,4} = 3400 \text{ N}$$

Osa kladíčky / výkres 0.BP - 100 - 02, pos. 16 / je znázorněna na obrázku 8.

rozměry osy v mm:  $d_1 = 20, d = 24, d_2 = 18$

$l_1 = 20, l = 15, l_2 = 100$

$R_1 = 1, R_2 = 3$



Obr. 8

Osa je v délce  $l_2$  připevněna k rámu a pokládáme ji za vetknutou. Z obrázku je vidět, že nebezpečný průřez  $f-f$  je v místě vetknutí.

V nebezpečném místě je osa namáhána ohýbovým momentem

$$M_o = R_B \cdot \frac{l_1}{2} + l / = 3400 \cdot \frac{0,02}{2} + 0,015 / = 85 \text{ Nm}$$

Napětí v ohýbu  $\sigma_o = \frac{M_o}{W_o}$ , kde  $W_o$  [ $\text{m}^3$ ] je modul průřezu v ohýbu / pro kruhový průřez  $W_o = \frac{\pi \cdot d^3}{32}$  /.

$$\text{tedy } \sigma_o = \frac{32 M_o}{d_2^3 \cdot \pi} = \frac{32 \cdot 85}{\pi \cdot 0,018^3} = 148 \text{ MPa}$$

Materiál osy : ocel II 700

mez pevnosti  $\sigma_p = 800 \text{ MPa}$

mez únavy v ohýbu hladké součásti

$$\sigma_{co} = 0,43 \cdot \sigma_p = 0,43 \cdot 800 = 344 \text{ MPa}$$

skutečná mez únavy v ohýbu součásti s vrubem

$$\tilde{\sigma}_{ce}^* = \tilde{\sigma}_{ce} \cdot \frac{\gamma \cdot v}{\beta_0}, \text{ kde}$$

$\gamma$  ..... součinitel jakosti povrchu

$v$  ..... součinitel velikosti povrchu

$\beta_0$  ..... součinitel vrubu pro ohýb

$$\tilde{\sigma}_{ce}^* = 344 \cdot \frac{0,9 \cdot 1}{1,7} = 182 \text{ MPa}$$

$$\text{Bezpečnost čepu v ohýbu } k = \frac{\tilde{\sigma}_{ce}^*}{\sigma_c} = \frac{182}{148} = 1,23$$

#### 4.2 Zdvih zakládacího mechanismu

Svislého pohybu zakládacího mechanismu je využito nejen k vyzdvížení válce do potřebné výšce, ale také k zavěšení válce na závěs regélu. Rám zakládacího mechanismu je ve všech čtyřech rozích opatřen kladkami, které jsou vedeny v rámu zakladače. Zdvih mechanismu je zajištěn řetězovým kladkostrojem, jenž je upevněn v horní části zakladače. Použitý kladkostroj je výrobek bulharské firmy BALKANKAR. Jeho výhody spočívají zejména v jeho nízké hmotnosti, malých rozměrech a v poměrně velké únosnosti.

Nejdůležitější parametry :

Typ MVO 13M

nosnost ..... 500 kg

výška zdvihu ..... 6,4 m

rychlosť zdvihu .....  $8 \text{ m min}^{-1}$

rychlosť mikrozdvihu .....  $2,4 \text{ m min}^{-1}$

výkon motoru při zdvihu ..... 0,24 kW

napětí ..... 380 V / 50 Hz /

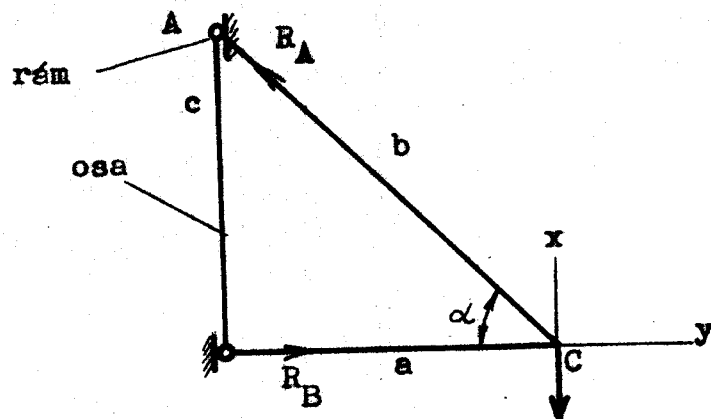
pevnost řetězu při přetržení 64 000 N

hmotnost ..... 48 kg

Rám zakládacího mechanismu je zavěšen na héku kladkostroje prostřednictvím čepu. Celková hmotnost zakládacího mechanismu včetně přepravovaného válce o maximální hmotnosti nepřevyšuje 480 kg.

#### 4.2.1 Výpočet os kladek

Osy kladek / výkres 0.BP - 100 - 02, pos.15/ jsou umístěny ve vrchní a spodní části rámu zakládacího mechanismu / obr.9/.



Obr.9

Síla  $F$ , jejíž velikost je součtem sil způsobených hmotnostmi přepravovaného tiskového válce, vozíku a hmotností samotného rámu, působí v místě C. Tato síla činí maximálně 4 500 N. Reakce v bodech A a B zjistíme pomocí složkových podmínek rovnováhy pro osy x a y :

$$R_A \sin\alpha - F = 0$$

$$R_A \cos\alpha - R_B = 0$$

z této soustavy rovnic vyplývá, že

$$R_A = \frac{F}{\sin \alpha} = \frac{2250}{\sin 55,7^\circ} = 2724 \text{ N}$$

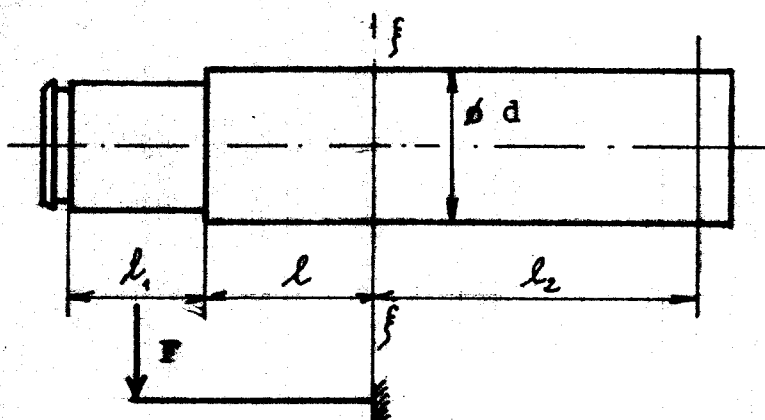
a

$$R_B = R_A \cos \alpha = 1535 \text{ N}$$

Pro další výpočet bereme tu reakci, která má větší hodnotu.

Osa kladky / výkres 0,HP - 100 - 02, pos.15 / je na obr. 10.

Osa je v délce  $l_2$  připevněna k rámu a pokládáme ji za vektor. Z obrázku je vidět, že nebezpečný průřez  $f-f$  je



Obr.10

v místě veknutí. / Označení a symboly jsou tytéž jako v kapitole 4.1.1. /.

V nebezpečném místě je osa namáhána ohybovým momentem

$$M_0 = R_A \cdot \frac{l_1}{2} + \ell / = 2724 \cdot \frac{0,024}{2} + 0,023 / = 95,34 \text{ Nm}$$

$$\text{napětí v ohybu } \sigma_0 = \frac{M_0}{W_0} = \frac{32 M_0}{d^3} = \frac{32 \cdot 95,34}{0,022^3} = 91 \text{ MPa}$$

materiál čepu je ocel 11 700

$$\sigma_p = 800 \text{ MPa}$$

$$\tilde{\sigma}_{co} = 0,43 \quad \tilde{\sigma}_p = 0,43 \cdot 700 = 344 \text{ MPa}$$

$$\tilde{\sigma}_{co}^* = \tilde{\sigma}_{co} \cdot \frac{\gamma \cdot v}{\beta_0} = 344 \cdot \frac{0,9}{2,2} = 140,7 \text{ MPa}$$

$$\text{Bezpečnost čepu v ohybu } k = \frac{\tilde{\sigma}_{co}^*}{\sigma_0} = \frac{140,7}{91} = 1,55$$

#### 4.3. Pojezd a pohon zakladače

Ve spodní části rámu zakladače, kterou tvoří dva profily U, jsou upevněna dvě pojížděcí kola. Obě jsou opatřena nákolky a jsou uložena na osách. Jedno je poháněno převodovým motorem se šnekovou převodovkou. Točivý pohyb motoru je přenesen na kolo pomocí pastorku, který zabírá do ozubeného věnce spojeného s poháněným kolem. Mezi motorem a hřidelem pastorku je pružná spojka, která umožňuje přenos točivého pohybu i při malé nesouososti obou hřidelů.

##### 4.3.1 Základní výpočty

###### Výpočet pojížděcích kol

Pojížděcí kola jsou počítána na únavu materiálu v dotykových plochách. Vychází se při tom z měrného tlaku  $p / \text{Pa} /$ , který vzniká ve styku kola o poloměru  $R$  s rovinou kolejnice účinné šířky  $b$ , k níž je kolo přitlačováno silou  $K_{max}$ . Výsledný vztah pro maximální únosnost kola je pak

$$K_{max} = k \cdot D \cdot b \cdot f_n \quad [N],$$

kde  $k$  je součinitel závislý na materiálu a druhu provozu  $/ \text{Pa} /$

$D$  - průměr kola  $/ \text{m} /$

b - účinná šířka kolejnice [m]

a  $f_n$  je součinitel otáček a spočítá se ze vztahu  $f_n =$

$$= \sqrt[3]{\frac{33,3}{n}}, \text{ kde } n \text{ jsou otáčky kola [min}^{-1}\text{]}$$

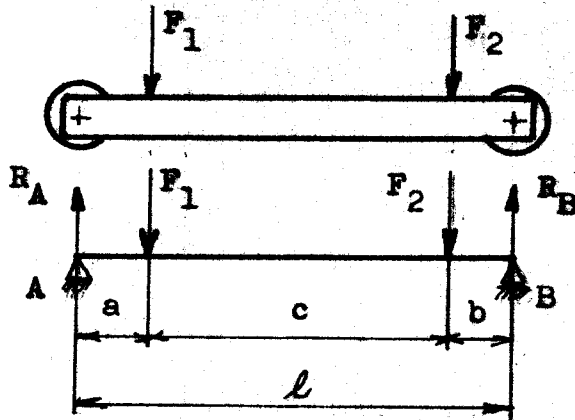
$$f_n = \sqrt[3]{\frac{33,3}{14,83}} = 1,31$$

Takže

$$K_{max} = 9 \cdot 10^6 \cdot 0,16 \cdot 0,05 \cdot 1,31 = 94283 \text{ N}$$

Síla působící na kolo:

Hmotnost zakladače včetně zakládaného válce je maximálně 900 kg. Na podvozku působí síly podle obr. II. Podpory nosníků na obrázku jsou ve skutečnosti osy kol.



$$F_1 = F_2 = 4500 \text{ N}$$

$$l = 2,18 \text{ m}$$

$$a = 0,125 \text{ m}$$

$$b = 0,235 \text{ m}$$

$$c = 1,82 \text{ m}$$

Obr. II

Celková reakce  $R_A$  v místě A je součet reakcí od síly  $F_1$  a  $F_2$ , čili  $R_A = {}^1R_A + {}^2R_A$ . Totéž platí při reakci v místě B.  $R_B = {}^1R_B + {}^2R_B$

$${}^1R_A = \frac{F_1 \cdot / b + c /}{l} = \frac{4500 \cdot / 0,235 + 1,82 /}{2,18} = 4242 \text{ N}$$

$$R_A^2 = \frac{F_2 \cdot b}{l} = \frac{4500 \cdot 0,235}{2,18} = 485 \text{ N}$$

$$R_B^2 = \frac{F_2 \cdot /a+c/}{l} = \frac{4500 \cdot 0,125 + 1,82/}{2,18} = 4015 \text{ N}$$

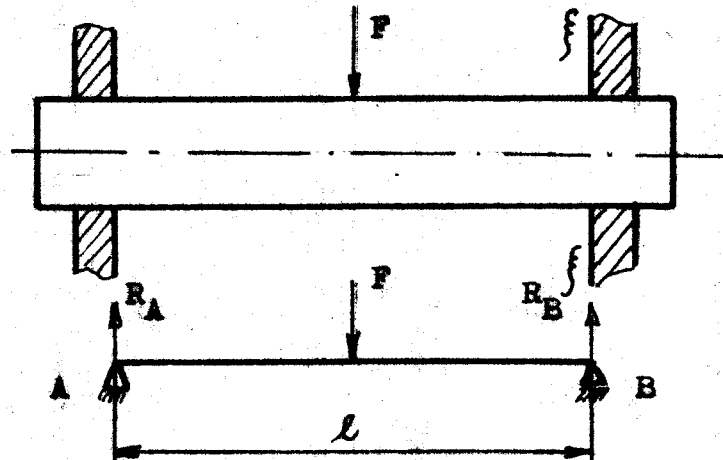
$$R_B^1 = \frac{F_1 \cdot a}{l} = \frac{4500 \cdot 0,125}{2,18} = 258 \text{ N}$$

$$R_A = 4242 + 485 = 4727 \text{ N}, \quad R_B = 250 + 4015 = 4273 \text{ N}$$

Největší síla působící na kolo je tedy síla o velikosti 4727 N, což je v porovnání s maximální únosností kola síla poměrně malá.

#### Pevnostní kontrola osy kola

Osa kola představuje válcový nosník / obr.12/, uloženy volně na podporách A,B a zatížený uprostřed silou  $F = 4727 \text{ N}$



Obr.12

Podporové reakce jsou stejné  $R_A = R_B = \frac{F}{2} = 2634 \text{ N}$

Maximální ohybový moment je v průřezu  $f - f$

$$M_o = \frac{F}{2} \cdot \frac{l}{2} = 2634 \cdot 0,05 = 118 \text{ Nm}$$

Největší napětí v řezu  $\sigma$  -  $\sigma$  je dán vztahem

$$\sigma_o = \frac{M_o}{W_o} = \frac{32 M_o}{\pi \cdot d^3}, \text{ kde } d = 0,03 \text{ m je zvolený průměr}$$

osy / označení a symboly jsou tytéž jako v kap.4.1.1/.

$$\sigma_o = \frac{32 \cdot 1118}{\pi \cdot 0,03^3} = 44,5 \text{ MPa}$$

Materiál osy je ocel 11 700

$$\sigma_p = 700 \text{ MPa a tedy } \sigma_{co} = 0,43 \cdot \sigma_p = 0,43 \cdot 700 = 301 \text{ MPa}$$

$$\sigma_{co}^* = \sigma_{co} \cdot \frac{\gamma \cdot v}{\beta_0} = 301 \cdot \frac{0,9 \cdot 0,85}{1,53} = 150,5 \text{ MPa}$$

Bezpečnost osy namáhané ohybem je  $k = \frac{\sigma_{co}^*}{\sigma_o} = \frac{150,5}{44,5} = 3,38$

Osa je zachycena na ukládacích plochách rámu. Měrný tlak na těchto plochách je

$$p = \frac{R_A}{d \cdot a} = \frac{2,634}{0,03 \cdot 0,017} = 5,16 \text{ MPa, kde } a \text{ je šířka}$$

ukládací plochy. Vypočtená hodnota měrného tlaku je výhovující.

U obou kol jsou použita kluzná ložiska M-DU3040, která mají vysokou životnost, malé opotřebení a velmi dobré vlastnosti v podmínkách suchého tření. Proto není třeba ložiska mazat. Maximální zatížení které ložisko vydrží je pro statické zatížení s pomalým kruhovým pohybem až 140 MPa.

Stanovení potřebného výkonu motoru

Při pojízdění motor překonává pouze moment pasivních odporů. Potřebný výkon motoru je dán vztahem

$$P = \frac{T \cdot v}{102 \cdot 60 \cdot \eta_c} \quad [kW],$$

kde  $T$  je odpor pojížděcích kol při pojíždění [kp]

$v$  .... pojížděcí rychlosť [m/min]

$\eta_c$  .... celková účinnosť pojížděcího ústrojí

odpor pojížděcích kol se určí z rovnice

$$T = \frac{F}{R} \cdot e + f_g \cdot r / \cdot \chi [N],$$

kde  $F$  je celková síla působící na pojížděcí kola [N]

$R$  .... poloměr pojížděcího kola [m]

$e$  .... součinitel valivého tření [m]; bývá

$$e = 6 \cdot 10^{-4} \text{ až } 8 \cdot 10^{-4} \text{ m}$$

$f_g$  .... součinitel čepového tření pojížděcích kol

$r$  .... poloměr čepu pojížděcího kola [m]

$\chi$  .... součinitel přídavných odporů

$$T = \frac{9000}{0,08} \cdot 6 \cdot 10^{-4} + 0,04 \cdot 0,03 / \cdot 1,3 = 263 \text{ N}$$

Potřebný výkon motoru je tedy

$$P = \frac{26,3 \cdot 7,456}{102 \cdot 60 \cdot 0,74} = 0,0433 \text{ KW} = 43,3 \text{ W}$$

Při rozjíždění musí motor překonávat jednak moment pasivních odporů, jednak inerční momenty přímočaře se posouvajících hmot a inerční momenty hmot rotujících.

Celkový potřebný rozběhový moment motoru je

$$M_{rozj} = / T + F_{zp} / \cdot \frac{R}{i \cdot \eta_c} + \beta \frac{GD^2 \cdot n}{375 \cdot t_a}, \text{ kde}$$

$T$  je odpor pojížděcích kol při pojíždění [kp]

$F_{zp}$  .... setrvačná síla posouvajících se hmot [kp]

$R$  .... poloměr pojížděcího kola [m]

$i$  .... celkový převod

$\eta_c$  ..... celková účinnost

$\beta$  ..... součinitel, jehož hodnota je 1,1 až 1,2

$GD^2$  ..... setrvačný moment elektromotoru [ kp m<sup>2</sup> ]

$n$  ..... otáčky motoru [ min<sup>-1</sup> ]

$t_a$  ..... doba rozběhu [ s ] ; zvolena  $t_a = 3s$

Setrvačná síla posouvajících se hmot se spočítá ze vztahu

$$F_{zp} = \frac{F \cdot v}{60 g t_a} = \frac{9000 \cdot 7,456}{60 \cdot 9,81 \cdot 3} = 3,8 \text{ kp} = 38 \text{ N}$$

kde  $g$  je těžové zrychlení [ m s<sup>-2</sup> ]

$$M_{rozj} = / 26,3 + 3,8 / \frac{0,08}{23,0,74} + 1,1 \frac{0,0075 \cdot 890}{375,3} = \\ = 0,148 \text{ kpm} = 1,48 \text{ Nm}$$

$$M_{rozj} \leq M_{sp} = \alpha \cdot M_n [ \text{Nm} ]$$

Z této podmínky plyne, že celkový rozběhový moment motoru musí být menší než je spouštěcí moment motoru  $M_{sp}$  / který je součinem normálního momentu motoru a součinitele přetížitelnosti /.

Zvolený motor dává výkon  $P = 0,14 \text{ KW}$  při  $n = 890 \text{ ot min}^{-1}$ .

$$\text{Jeho normální moment } M_n = 0,740 \cdot \frac{P}{n} = 9740 \cdot \frac{0,14}{890} = 1,53 \text{ Nm}$$

$$\text{a } M_{sp} = 1,6 \cdot 1,53 = 2,45 \text{ Nm}$$

Podmínka  $M_{rozj} \leq M_{sp}$  je splněna a navržený motor je tedy plně využívající.

Hlavní parametry poháněcího motoru :

převodový motor šnekový typ MS/HL - ORge 17 - 6

nevýbušné provedení Ex 0/C

napětí 380 V nebo 220 V, 50 Hz

velikost.. 53 /mm/

otáčky ... 890 min<sup>-1</sup>

výkon .... 140 W

převod ... 1 : 20

účinnost.. 0,79 až 0,84

### Výpočet ozubeného převodu

Výpočet je prováděn podle známých vztahů a je usporádán v následující tabulce / rozměry v [ mm ] /

Pastorek	Kolo
$l = 3, m = 2,5, \alpha = 20^\circ, t = . m = 7,854$	
$z_1 = 18$	$z_2 = 54.$
$D_1 = m \cdot z_1 = 45$	$D_2 = m \cdot z_2 = 135$
$h_h = m = 2,5, h_p = m + 0,25 m = 3,125, h = h_h + h_p = 5,625$	
$D_{h_1} = D_1 + 2 m = 50$	$D_{h_2} = D_2 + 2 m = 140$
$D_{p_1} = D_1 - 2 h_p = 38,75$	$D_{p_2} = D_2 - 2 h_p = 128,75$

Celkový převod motoru a ozubeného soukoli je

$$i = i_m + i = 20 + 3 = 23$$

Otačky pastorku jsou  $n_p = \frac{n_m}{i_m} = \frac{890}{20} = 44,5 \text{ min}^{-1}$ ,

potom otačky kola  $n_k = \frac{n_p}{i} = \frac{44,5}{3} = 14,83 \text{ min}^{-1}$

a z toho rychlosť pojíždění  $v$  při průměru kola  $d = 0,16 \text{ m}$   
je  $v = n_k \cdot \pi \cdot d = 14,83 \cdot \pi \cdot 0,16 = 7,45 \text{ m} \cdot \text{min}^{-1} =$   
 $= 0,124 \text{ m s}^{-1}$

Celková účinnost převodu je  $\eta_c = \eta_m \cdot \eta_s = 0,94 \cdot 0,79 = 0,74$

$\eta_m$  .... účinnost převodovky motoru

$\eta_s$  .... účinnost ozubeného převodu

Pojížděcí rychlosť je malá a proto není třeba motor brzdit.

Pevnostní kontrola ozubení:

Kroutící moment na hřídeli pastorku je

$$M_k = 9740 \frac{P}{n} = 9740 \frac{0,14}{44,5} = 30,64 \text{ N m}$$

$$\text{a obvodová síla v ozubení } F_o = \frac{2 M_k}{D_1} = \frac{2 \cdot 30,64}{45 \cdot 10^{-3}} = 1362 \text{ N}$$

$$\text{normálná síla potom je } F_n = \frac{F_o}{\cos \alpha} = \frac{1362}{\cos 20^\circ} = 1449 \text{ N}$$

a/ Kontrola ozubení na pevnost v ohybu

Materiál soukolí je ocel 12020

Přípustná obvodová síla  $F$  je  $F = \pi \cdot m \cdot c_o \cdot b$  [N]

kde  $m$  = modul [m]

$c_o$  = srovnávací hodnota [Pa]

$b$  = šířka ozubení [m]

$$c_o = \sigma_{D_0} \cdot \frac{r_o}{y_o}$$

$\sigma_{D_0}$  = dovolené namáhání v ohybu [Pa]

$r_o$  = rychlostní součinitel

$y_o$  = tvarový pevnostní součinitel

$$c_o = 205 \cdot 10^6 \frac{0,7}{6,8} = 21,1 \cdot 10^6 \text{ Pa}$$

$$F = \pi \cdot 2,5 \cdot 10^{-3} \cdot 21,1 \cdot 10^6 \cdot 0,01 = 1657 \text{ N}$$

b/ Kontrola zubů na otlačení

Přípustná obvodová síla  $F$  je  $F = \pi \cdot m \cdot c_d \cdot b$  [N]

kde součinitel  $c_d = \sigma_{D_d} \frac{r_d}{y_d}$  [Pa]

$\sigma_D$  = základní přípustný tlak / Pa /

$r_D$  = rychlostní součinitel

$y_D$  = tvarový součinitel

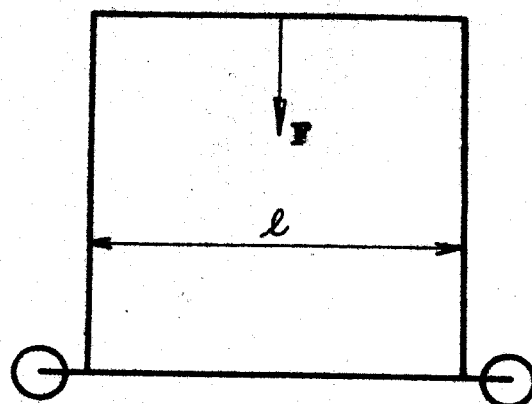
$$c_d = 81 \cdot 10^6 \frac{0,9}{2} = 36,45 \cdot 10^6 \text{ Pa}$$

$$P = \pi \cdot 2,5 \cdot 10^{-3} \cdot 36,45 \cdot 10^6 \cdot 0,01 = 2863 \text{ N}$$

V obou případech je přípustná síla větší než obvodová síla působící v ozubení a z toho vyplývá, že ozubení je dosatečně dimenzováno.

#### 4.4. Rám zakladače

Rám zakladače / obr.13 / je sestaven z tyčí průřezu U. Celá konstrukce je svařena.



Obr. 13

Kontrola nosníku kladkostroje na ohyb:

Nosník kladkostroje l tvoří dvě tyče průřezu U 10 spojené na obou koncích s rámem zakladače. Kladkostroj je upevněn uprostřed nosníku. Síla F působící na nosník je rovna součtu hmotnosti kladkostroje, zakládacího mechanismu a vlasti-

ní hmotnosti nosníku.  $F = 5700 \text{ N}$

Maximální ohýbový moment v nosníku je tedy

$$M_{o \max} = \frac{F \cdot l}{4} = \frac{5700 \cdot 1,765}{4} = 2515 \text{ N m},$$

kde  $l$  je vzdálenost podpor.

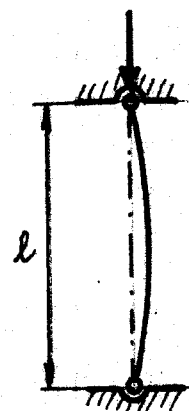
Pro dvě tyče U 10 je průřezový modul  $W_o$  roven  $W_o = 82,4 \cdot 10^{-6} \text{ m}^3$

Maximální napětí v ohýbu  $\sigma_{o \ max} = \frac{M_o}{W_o} = 30,5 \text{ MPa}$

$$\text{Bezpečnost } k = \frac{\sigma_{kt}}{\sigma_o} = \frac{240}{30,5} = 7,87$$

Kontrola rámu na vzpěr :

Svislé členy rámu tvoří tyče průřezu U 12. Tyč se při zatížení vyhne ve směru menšího odporu, což se v tomto případě ohyb kolem osy y průřezu. Vzhledem k tomu, že ohýbový moment působící na tyče od zakládacího mechanismu, působí k ose největšího odporu profilu ose x a je poměrně malý, můžeme jej zanedbat. Při kontrole tyčí na vzpěr bude uvažován nepříznivější případ vzpěru, kde místa spojení jednotlivých částí rámu jsou považována za klouby / obr. 14 /.



Obr. 14

Zatěžovací síla na jednu tyč je  $F = \frac{5700}{2} = 2850 \text{ N}$

Dovolená zatěžující síla na vzpěr

$$F_{Dv} = \frac{\pi^2 \cdot E \cdot J}{k_v \cdot l^2} \quad [N] \text{ kde,}$$

E = modul pružnosti v tahu [Pa]

J = nejmenší moment setrvačnosti průřezu tyče / m<sup>4</sup> /

l = délka tyče [m]

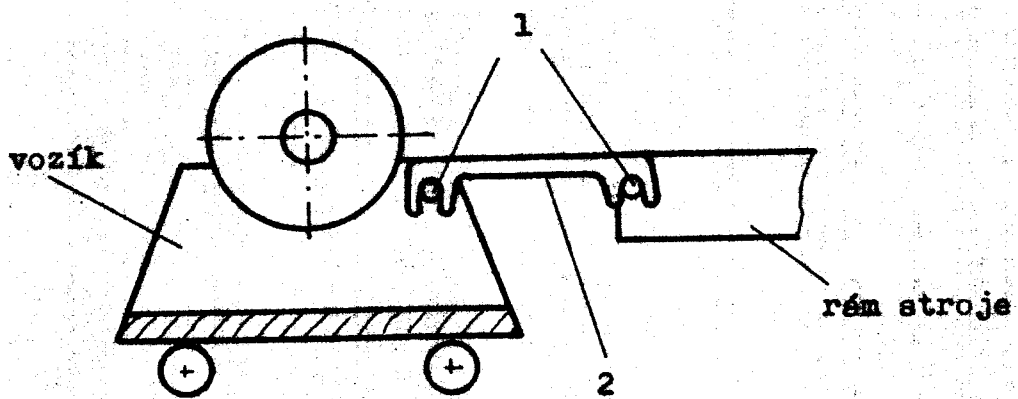
k<sub>v</sub> = míra bezpečnosti

Z toho tedy pro tyč průřezu U 12 je

$$k_v = \frac{2 \cdot 2,1 \cdot 10^{11} \cdot 43,2 \cdot 10^{-8}}{2850 \cdot 5,21^2} = 11,57$$

## 5.0 ZAKLÁDÁNÍ A VYJÍMÁNÍ VÁLCŮ

Tiskový válec, který je třeba založit do regálu se opatří ochranným pláštěm a dopraví se k zakladači. K dopravě válce se používá speciální transportní vozík /obr. 15/. Výška vozíku h je stejná jako výška uložení tiskového válce ve stroji. Vozík se přisune ke stroji a za čepy 1 se spojí pákou 2 s rámem stroje. Válec se ze stroje vyvalí přímo na vozík a je převezen k zakladači.



Obr. 15

Nejnižší poloha zakládacího mechanismu je přizpůsobena výšce vozíku  $h = 455$  mm. Transportní vozík se opět spojí se zakládacím mechanismem pomocí pák 2. Válec se překulí z transportního vozíku na vozík zakládacího mechanismu do místa A.) V bočnicích vozíku, po kterých je válec valen, je v místě A vybráni, do kterého dosedne hřídel válců. Tím je zajištěn proti samovolnému pohybu. Nyní když je válec v zakládací poloze, najede se se zakladačem k příslušnému regálu. Vertikálním posuvem zakládacího mechanismu se válec dopraví několik

)\* viz obr. 5

centimetrů nad zvolený závěs regálu. Vozík s válcem se vysune až nad závěs a následuje pohyb zakládacího mechanismu směrem dolů s použitím mikrozdvihu. Tím se válec zavěší na závěs regálu. Vozík zakladače se zasune zpět do původní polohy.

Při vyjmání válce z regálu se postupoje naopak. Vozík zakladače se vysune těsně pod závěs regálu, v němž je zavěšen tiskový válec. Pomocí mikrozdvihu se zakládací mechanismus posune směrem nahoru a tím sejmé válec ze závěsu. Následuje zasunutí vozíku zakladače do výchozí polohy a zakládací mechanismus je spuštěn až do nejnižší polohy, kde je válec vyložen na transportní vozík.

Ovládání pojezdu podél regálů, vertikálního posunu a výsuvu zakládacího mechanismu bude prováděno z ovládacího panelu, který bude umístěn na rámu zakladače.

Použití automatického ovládání práce zakladače by nebylo možné, protože instalované regály nejsou přesně sestaveny a také není zaručena jejich kolmost k podlaze haly. Zařízení na automatické ovládání by bylo poměrně složité a zřejmě by se ani nevyplatilo, vezmeme-li v úvahu, že tiskové válce jsou zakládány dvakrát až třikrát za směnu.

Vzhledem k tomu, že zakládač pracuje v prostředí s nebezpečím požáru, elektrická energie je k zakladači přivedena pomocí ohebného kabelu. Kabel bude zavěšen nad horním vedením zakladače na kladičkových nosičích, které se budou volně pohybovat na vodicí dráze.

## 6.0 ZÁVĚR

Současná přestavba lidské společnosti, spojená s převýchovou člověka, souvisí neoddělitelně s technickým rozvojem, hospodářskou produkcí a produktivitou práce. Růst průmyslové výroby a další rozvoj našeho hospodářství vyžaduje využití všech rezerv a široké uplatnění modernizace, zejména v oblasti manipulace s materiélem.

Je to velmi rozsáhlá pracovní oblast, která podle předběžných rozborů váže v současné době více než 1 milión pracovníků v celém národním hospodářství.

Se zřetelem na to, že manipulaci s materiélem nebyla dosud věnována dostačná pozornost, je možno právě proto zde hledat největší současné rezervy našeho hospodářství, zdroje pro růst produktivity práce. Nedokonalá organizace této činnosti a nízká technická úroveň vede k omezování výroby, výrobních a skladovacích ploch. Naopak racionalizací všech činností manipulace s materiélem lze dosáhnout zkrácení průběžné výrobní doby, dopravních cest, snížení transportních výkonů.

Úkolem mé diplomové práce bylo vyřešit způsob zakládání hlubotiskových válců do již instalovaných regálů a navrhnut konstrukci zakládacího zařízení. Při řešení problému jsem vycházel z daných požadavků a podmínek a snažil jsem se o nejoptimálnější řešení. Řešení bylo o to komplikovanější, že regály byly již instalovány a navrhované zařízení bylo nutno přizpůsobit jejich rozměrům a konstrukci, která není pro tuto práci tohoto zařízení optimální. Dále řešení ztěžoval velmi omezený prostor, určený pro zakládací zařízení.

Vyřešením tohoto úkolu se podstatně zlepší situace ve skladování hlubotiskových válců. Odstraní se těžká manuální práce, využije se doposud nevyužitý prostor a na druhé straně se uvolní dosavadní velká skladovací plocha. Uspadní se také výběr válců, potřebných k tisku.

Dokumentace k předloženému návrhu zakládacího zařízení by v případě výroby musela obsahovat výpočty s ohledem na platné Československé státní normy.

SEZNAM POUŽITÉ LITERATURY

- / 1 / ČERNOCH S. Strojné technická příručka ,  
SNTL Praha 1968
- / 2 / DRAŽAN F., KUPKA L. a kol. Transportní zařízení,  
SNTL / SVTL Praha 1966
- / 3 / NĚMEC A. Části strojů II,  
SNTL Praha 1972
- / 4 / NĚMEC A., BOHÁČEK F., BUREŠ V., Části strojů III.,  
SNTL Praha 1971
- / 5 / PĚKNÝ A. Části strojů,  
SNZ Praha 1972
- / 6 / RENTA F., KUPKA L., DRAŽAN F. a kol. Jeřáby I. díl  
SNTL Praha 1974
- / 7 / VRZAL B. a kol. Strojnické tabulky,  
SNTL Praha 1972
- / 8 / Prospekty zdvihacích zařízení

**Za cenné rady, informace a odborné vedení při práci  
na diplomovém díelu děkuji svému vedoucímu diplomové práce  
ing. Miroslavu Hydvalovi a konzultantovi ing. Stanislavu  
Podolákoví.**

Počet kusů	Název - rozměr	Poločování	Mat. konečný	Mat. výchozí	Ulož odp.	C. vona	Kr. výhoda	Cíl. výkresu	Pos
1	2	3	4	5	6	7	8	9	10
1	Rám	svářenec							1
1	Retrákový kladkostroj	TYP MVK13M							2
1	Převodový motor 220V	M S / HL TYP ORge 27-6E C/e							3
1	Kolo ø175 x 70	ČSN42 5114	11 600		001				4
1	Kolo ø175 x 70	ČSN42 5114	11 600		001				5
2	Kládička ø 65 x 50	ČSN42 5510	11 500		001				6
1	Ozub. věnec ø 140 x 25	ČSN42 5515	12 020		002				7
1	Pastorek ø 50 x 20	ČSN42 5515	12 020		002				8
1	Frézová spojka kotoučová ovc 67	Sigma n.p.	latín						9
1	Ložiskový domek	svářenec							10
2	Osa ø 30 - 155	ČSN42 5510	11 700		001				11
2	Osa ø 25 - 150	ČSN42 5510	11 700		001				12
4	Příložka ø 50 5	ČSN42 5522	11 600		001				13
4	Vlech 90 x 10	ČSN42 5522	11 600		001				14
1	Rozprávka trubky ø 30 6-25	ČSN42 5715	11 700		001				15
4	Lož. M-162040								16
4	Ložisko M-162015								17
4	Ložisko M-162015								18
4	Arceč. kružnice M-162015								19
2	Kružnice M-162015	ČSN42 2930							20

Měnítko	Kresba	Typ	Cis. změna	Změnec	Datum	Pedpis	Index změny
	1. Přezkoušet						x
	2. Num. ref						x
	3. Výz. průměrů	Střední	1. G. transp				x
		1. Druh	2. N. 5. 7. 74				x
	4. Typ	+	Skupina	Starý výk.	Nový výkres		
	5. Název						

VSST

RÁM

1.BP-100-01

Počet kusů	Název - rozměr	Poločovar	Mat. konečný	Mot. výchozí	Třída odp.	C. váha	Hr. váha	Číslo výkresu	Pos.
1	2	3	4	5	6	7	8	9	10
1	Rám	svařenec							1
1	Řetězový kladkostroj	TYP MV013M							2
1	Převodový motor 220V TYP ORge	M S / HL 17-6E 0/e							3
1	Kolo ø175 x 70	ČSN42 5114	11 600		001				4
1	Kolo ø175 x 70	ČSN42 5114	11 600		001				5
2	Kládička ø 65 x 50	ČSN42 5510	11 500		001				6
1	Ozub. věnec ø 140 x 15	ČSN42 5515	12 020		002				7
1	Pastorek ø 50 x 20	ČSN42 5515	12 020		002				8
1	Pružná spojka kotoučová ø80 67	Sigma n.p.	Lutín						9
1	Ložiskový domek	svařenec							10
2	Osa ø 30 - 155	ČSN42 5510	11 700		001				11
2	Osa ø 25 - 80	ČSN42 5510	11 700		001				12
4	Příložka ø 50 5	ČSN42 5522	11 600		001				13
4	Plech 90 x 10	ČSN42 5522	11 600		001				14
1	Rozpěrka trubka ø 30 6-15	ČSN42 5715	11 350		001				15
4	Ložisko M-DU3040								16
2	Ložisko M-DU2215								17
2	Ložisko M-DU2015								18
4	Axiél. kroužek KA 30DU								19
2	Kroužek 20	ČSN02 2930							20

Měřítko	Kreslil <i>Jiří Kohout</i>	Cís. sním.	Schválil <i>[Signature]</i>	C. transp.	D	E	F	G	H	I	J	K	L	M	N	O	P	Q	R	S	T	U	V	W	X	Y	Z	Index změny
	Překoušel																											
	Norm. ref.																											
	Výr. projednat																											
Dne <i>26.5.78</i>																												

Type	Skupina	Starý výkres	Nový výkres
Název			
VŠST	RÁM	1.BP-100-01	
		Počet listů 4	List 3

Počet kusů	Název - rozměr	Polotovar	Mat. konečný	Mat. výchozí	Třída odp.	Č. váha	Hr. váha	Číslo výkresu	Pos.
1	2	3	4	5	6	7	8	9	10
2	Šroub M 12 x 35	ČSNO2 1101							21
4	Šroub M 8 x 30	ČSNO2 1101							22
6	Šroub M 8 x 55	ČSNO2 1101							23
2	Šroub M 6 x 25	ČSNO2 1101							24
8	Šroub M 4 x 12	ČSNO2 1101							25
2	Matice M 16	ČSNO2 1401							26
2	Matice M 12	ČSNO2 1401							27
10	Matice M 8	ČSNO2 1401							28
2	Matice M 6	ČSNO2 1401							29
2	Podložka 16,3	ČSNO2 1740							30
2	Podložka 12,2	ČSNO2 1740							31
10	Podložka 8,2	ČSNO2 1740							32
2	Podložka 6,1	ČSNO2 1740							33
8	Podložka 4,1	ČSNO2 1740							34

Měřítko	Kreslil <i>Jím Šebala</i>		Cis. sním.	Změna	Datum	Podpis	Index změny
	Přezkoušel						
	Norm. ref.						
	Výr. projednal	Schválil	C. transp.				
		Dne 26.5.78					
	TYP	Skupina	Starý výkres	Nový výkres			
	Název						
VŠST	RÁM		1.BP-100-01				
Počet listů 4					List 4		

Počet kusů	Název - rozměr	Polotovar	Mat. konečný	Mat. výchozí	Třída odp.	C. váha	Hr. váha	Cíllo výkresu	Pos.
1	2	3	4	5	6	7	8	9	10
1	Rám	svařenec							1
1	Vozík	svařenec							2
4	Náboj + 60 x 16 - 70	ČSN42 5522	11 500		001				3
1	Vedení + 45 x 20 - 55	ČSN42 5522	11 500		001				4
1	Vedení + 25 x 20 - 55	ČSN42 5522	11 500		001				5
1	Vedení + 20 x 5 - 55	ČSN42 5522	11 500		001				6
1	Vedení + 45 x 5 - 55	ČSN42 5522	11 500		001				7
1	Příložka 3x15 - 160	ČSN42 5301	11 500		001				8
1	Převodový motor 220 V	TYP PK3K5H							9
1	Pastorek ø 60x25	ČSN42 5510	11 700		001				10
1	Ozubený hřeben + 15 x 20 - 700	ČSN42 5522	11 700		001				11
4	Kladka ø 105 - 30	ČSN42 5510	11 500		001				12
6	Kladička ø 50 - 30	ČSN42 5510	11 500		001				13
1	Čep ø 28 - 90	ČSN42 5510	11 700		001				14
4	Osa ø 22 - 116	ČSN42 5510	11 700		001				15
6	Osa ø 23 - 138	ČSN42 5510	11 700		001				16
4	Ložisko M-DU1820								17
6	Ložisko M-DU2015								18
4	Axial. kroužek KA 18 DU								19
6	Axial. kroužek KA 20 DU								20

Měřítko	Kreslil <i>Jiří Šebek</i>		Cis. sním.						x
	Přezkoušel								x
	Norm. ref.								x
	Vyr. projednal	Schválil	C. transp.					Datum	
								Podpis	
									Index změny
									x
									x
									x
									x
									x

TYP	Skupina	Starý výkres	Nový výkres	
Výkres				
VŠST	ZAKLÁDACÍ MECHANISMUS		0.BP - 100-02	

Počet kusů	Název - rozměr	Polotovar	Mat. konečný	Mat. výchozí	Třída odp.	Č. váha	Hr. váha	Cíllo výkresu	Pos.
1	2	3	4	5	6	7	8	9	10
4	Kroužek 18	ČSN02 2930							21
6	Kroužek 20	ČSN02 2930							22
1	Kolik 4 27	ČSN02 2150							23
16	Šroub M 8 x 25	ČSN02 1101							24
4	Šroub M 8 x 30	ČSN02 1101							25
2	Šroub M 6 x 40	ČSN02 1101							26
2	Šroub M 6 x 100	ČSN02 1101							27
1	Šroub M 6 x 32	ČSN02 1101							28
2	Šroub M 5 x 15	ČSN02 1101							29
6	Matice M 18	ČSN02 1401							30
20	Matice M 8	ČSN02 1401							31
5	Matice M 6	ČSN02 1401							32
2	Matice M 5	ČSN02 1401							33
6	Podložka 18,3	ČSN02 1740							34
20	Podložka 8,2	ČSN02 1740							35
5	Podložka 6,1	ČSN02 1740							36
2	Podložka 5,9	ČSN02 1740							37
1	Zavíčka 1,6x20	ČSN02 1781							38
12	Podložka ø35 3	ČSN42 5350							39

Měřitko	Kreslil <i>Jan Tolnay</i>		Cis. sním.	a				x
	Prezkušel			c				x
	Norm. ref.			e				x
	Výr. projednal	Schválil	C. transp.	n				x
		Dne 26.5.78						x

VŠST	Type	Skupina	Starý výkres	Nový výkres	
	Nozev				
ZAKLÁDACÍ					
MECHANISMUS			0.BP-100-02		
		Počet listů 4			
				List 4	



Za cenné rady, informace a odborné vedení při práci  
na diplomovém školu děkuji svému vedoucímu diplomové práce  
Ing. Miroslavu Kyvalovi a konzultantovi Ing. Stanislavu  
Podolákoví.